

Modèles numériques et géométriques pour l'image

VII. MORPHOLOGIE MATHÉMATIQUE

1. Introduction
2. Opérateurs morphologiques
 - 2.1. Sur les images binaires
 - 2.1.1. Opérateurs de Minkowski
 - 2.1.2. Opérateurs morphologiques élémentaires
 - ▷ Dilatation
 - ▷ Erosion
 - 2.1.3. Opérateurs morphologiques composés
 - ▷ Ouverture
 - ▷ Fermeture
 - 2.2. Sur les images en niveaux de gris
 - 2.2.1. Opérateurs de Minkowski
 - 2.2.2. Opérateurs morphologiques élémentaires
 - ▷ Dilatation
 - ▷ Erosion
 - 2.2.3. Opérateurs morphologiques composés
 - ▷ Ouverture
 - ▷ Fermeture

3. Applications simples
 - 3.1. Sur les images binaires
 - 3.1.1. Sélection d'objets
 - 3.1.2. Segmentation de contours
 - 3.2. Sur les images en niveaux de gris
 - 3.2.1. Gradient morphologique
 - 3.2.2. Augmentation de contraste
 - 3.2.3. Correction de fond
4. Applications complexes
 - 4.1. Filtrage morphologique
 - 4.1.1. Définition
 - 4.1.2. Analyse granulométrique
 - 4.1.3. Filtres alternés
 - 4.2. Opérations géodésiques
 - 4.2.1. Dilatation géodésique
 - 4.2.2. Reconstruction géodésique
 - 4.2.3. Séparation d'objets

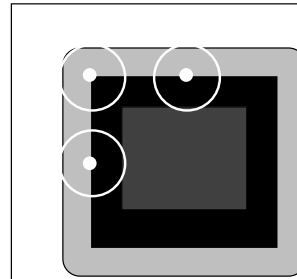
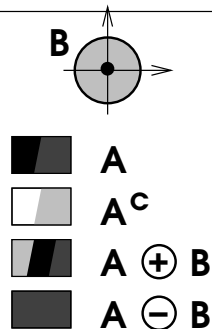
objets binaires : ensemble de vecteurs correspondant
aux positions des pixels objet de l'image
= $\{ (x,y) , f(x,y) = 1 \}$

addition de Minkowski :

$$A \oplus B = \{ a+b, a \text{ in } A, b \text{ in } B \}$$

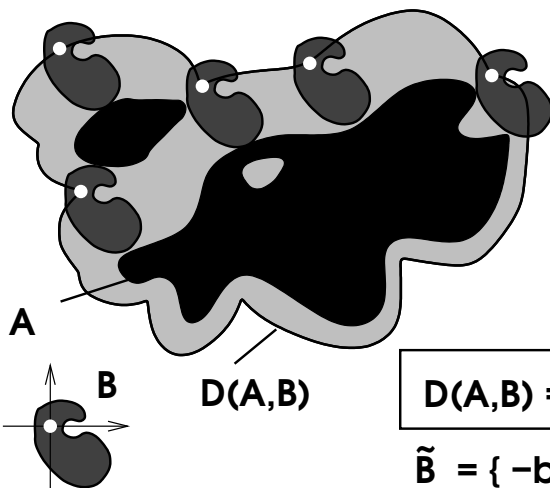
soustraction de Minkowski :

$$A \ominus B = (A^c \oplus B)^c$$



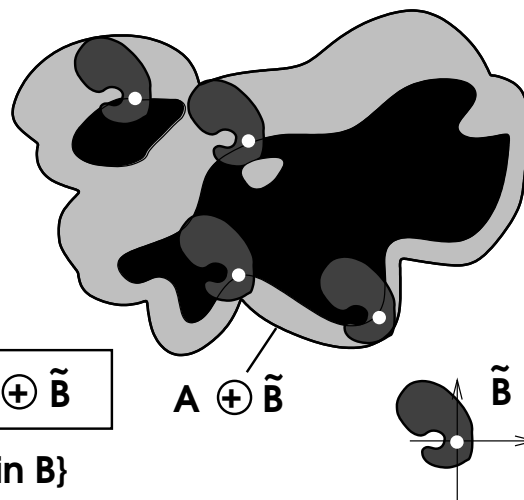
dilatation : $D(A,B) = \{ u, A \cap B_u \neq \emptyset \}$

$$B_u = \{ b+u, b \text{ in } B \}$$

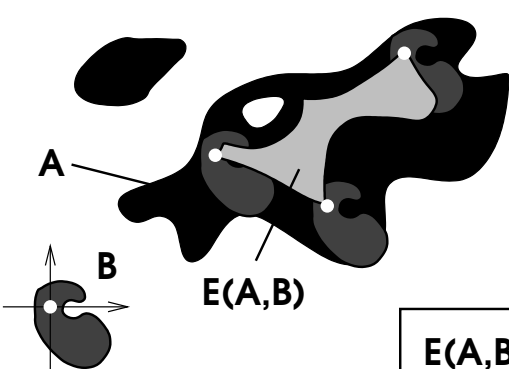


$$D(A,B) = A \oplus \tilde{B}$$

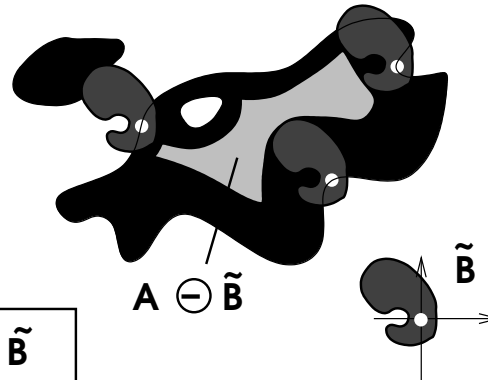
$$\tilde{B} = \{ -b, b \text{ in } B \}$$



érosion : $E(A,B) = \{ u, B_u \subset A \}$

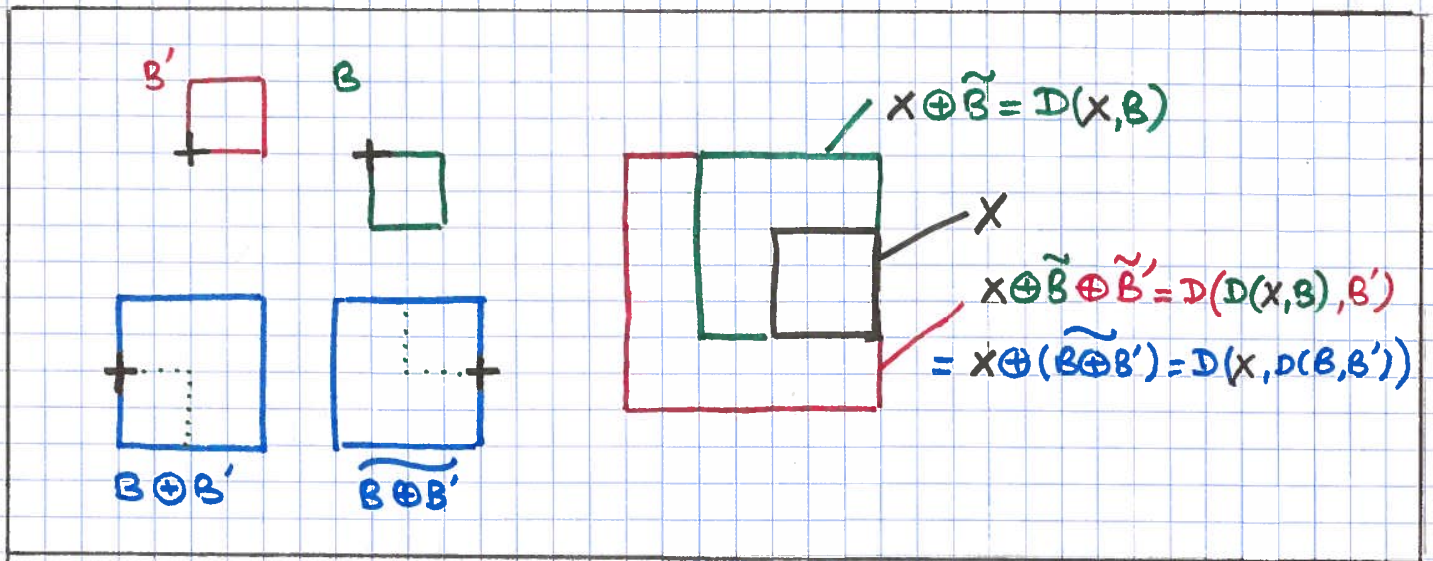
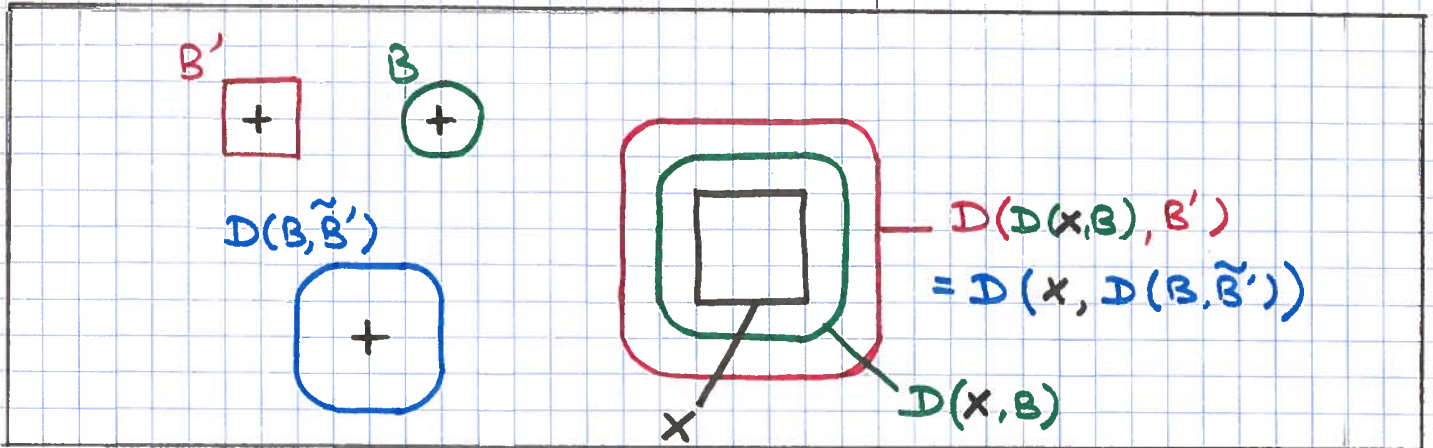


$$E(A,B) = A \ominus \tilde{B}$$

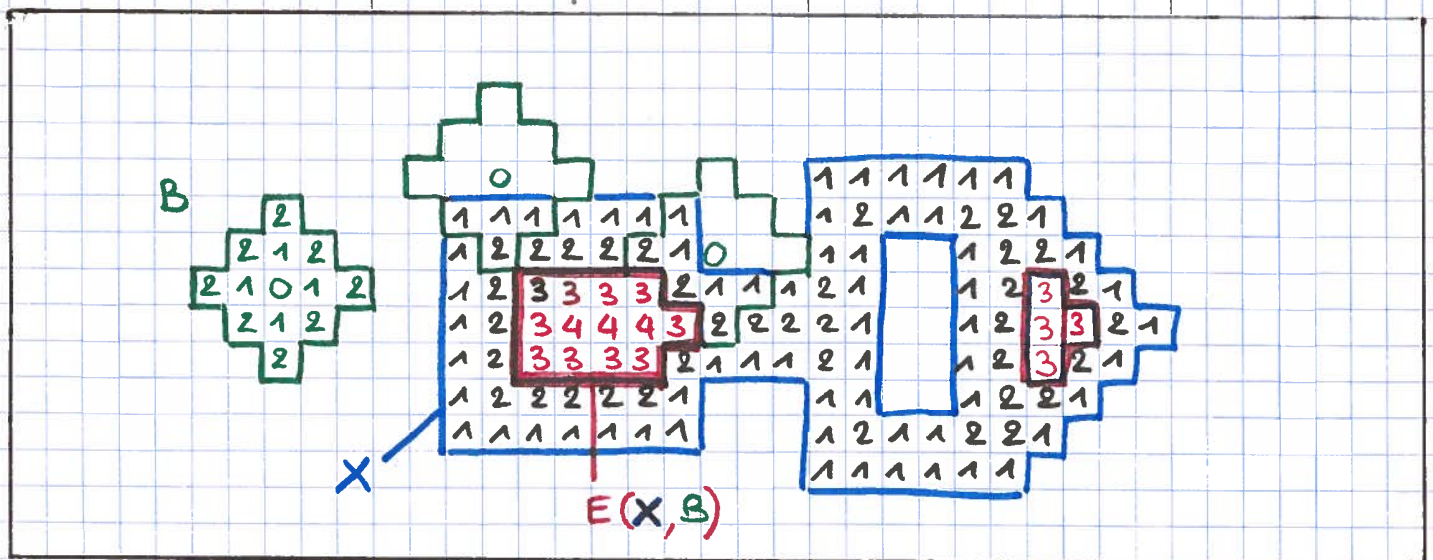


Opérateurs morphologiques sur images binaires

ASSOCIATIVITÉ DE LA DILATATION

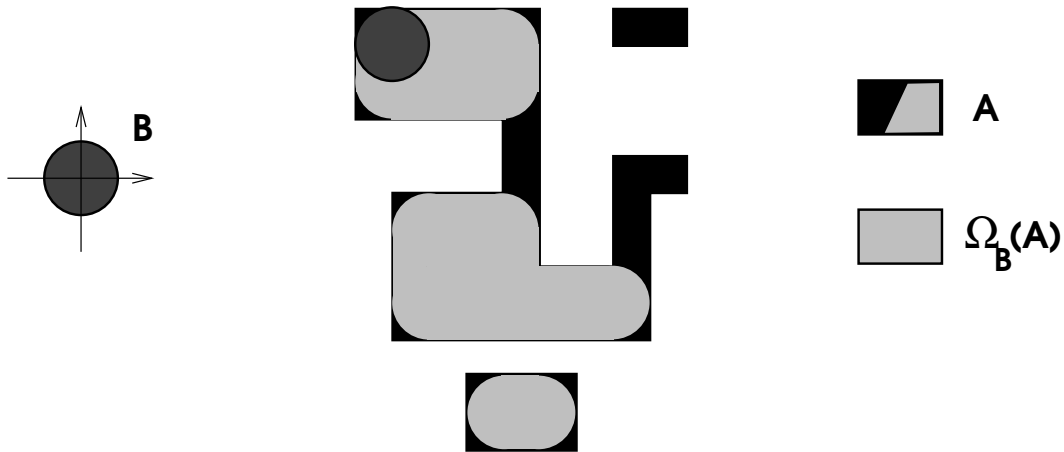


ÉROSION ET TRANSFORMÉE EN DISTANCE



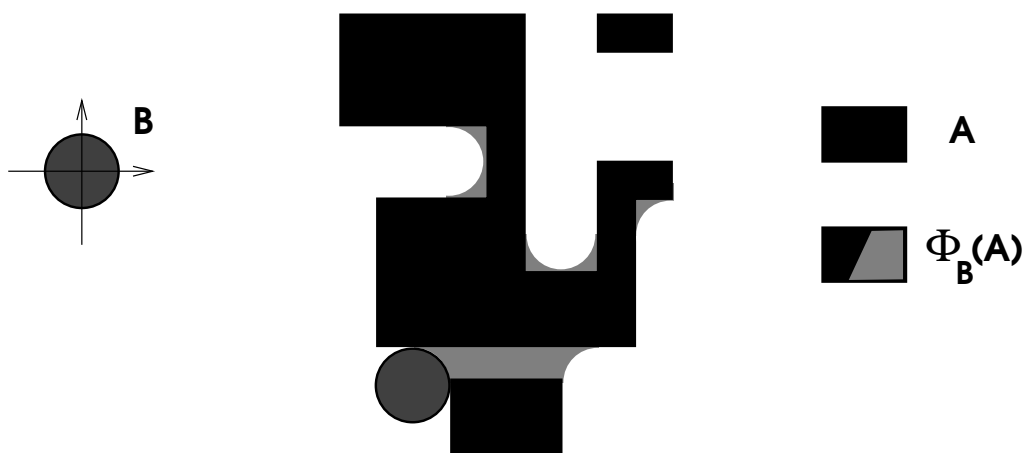
ouverture : espace balayé par l'élément structurant B lorsqu'il est inclus entièrement dans l'objet A

$$\Omega_B(A) = (A \ominus \tilde{B}) \oplus B$$



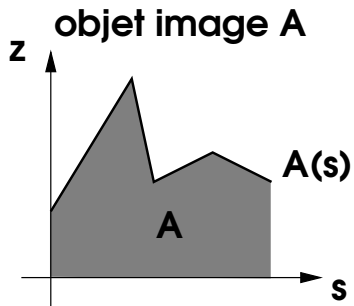
fermeture : espace non balayé par l'élément structurant B lorsqu'il est inclus entièrement dans le fond A^c

$$\Phi_B(A) = (A \oplus \tilde{B}) \ominus B$$

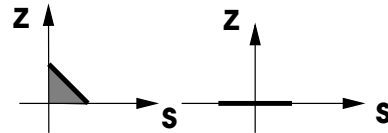


objets en niveaux de gris : sous-graphe de la fonction qui
à chaque point de l'image fait correspondre
son niveau de gris = $\{ (x,y,z) , z \leq f(x,y) \}$

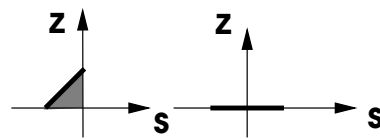
notation : $A = \{ (s,z), z = A(s) \text{ et } s = (x,y) \}$




Éléments
structurants B

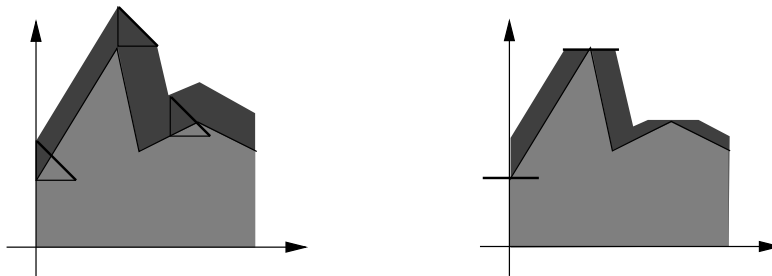



Éléments
symétriques
 $\tilde{B}(s) = B(-s)$

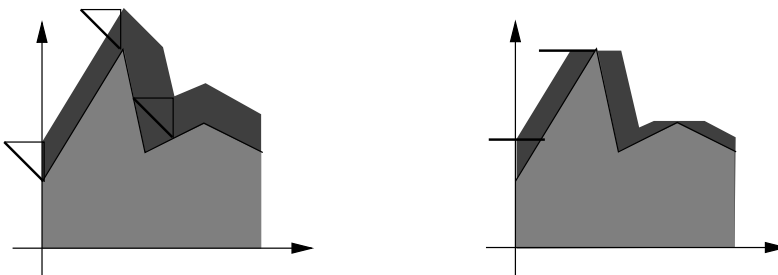


addition de Minkowski :

 $A \oplus B = \cup a + b$



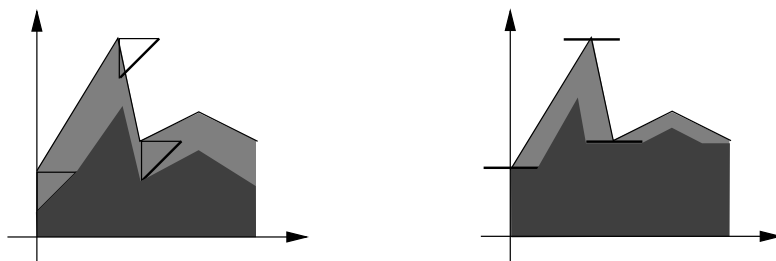
 $A \oplus B = \{ (s,z), z \leq \sup_{\dagger} (A(s-t) + B(t)) \}$



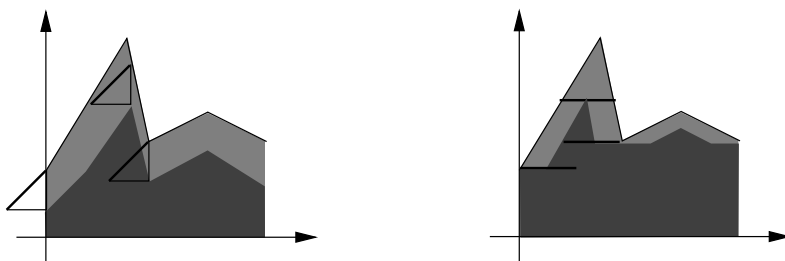
Opérateurs morphologiques sur images en ng

soustraction de Minkowski :

■ $A \ominus B = (A^c + B^c)$

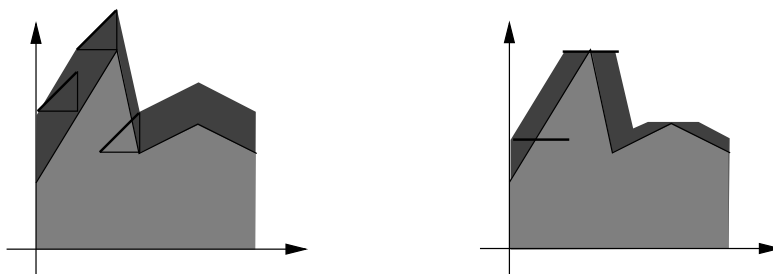


■ $A \ominus B = \{ (s,z), z \leq \inf_t (A(s-t) - B(t)) \}$



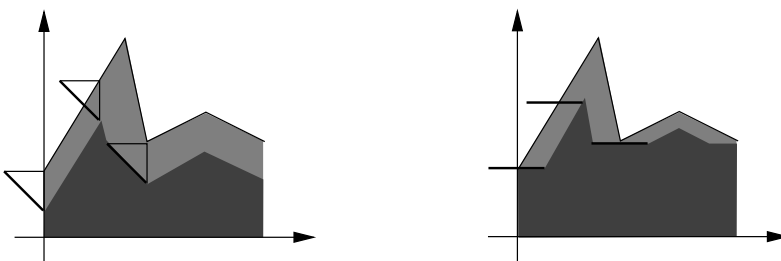
dilatation:

■ $D(A,B) = A \oplus \tilde{B}$



érosion :

■ $E(A,B) = A \ominus \tilde{B}$

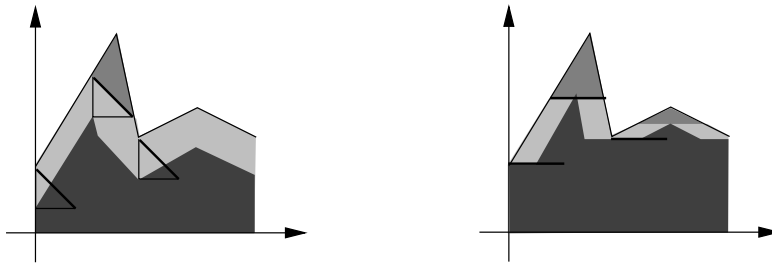


Opérateurs morphologiques sur images en ng

ouverture :

$\Omega_B(A) = (A \ominus \tilde{B}) \oplus B$

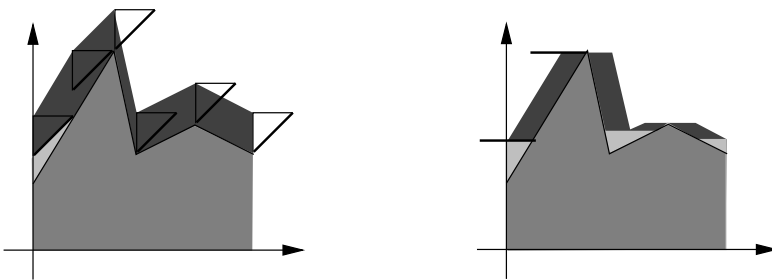
 $A \ominus \tilde{B}$



fermeture :

$\Phi_B(A) = (A \oplus \tilde{B}) \ominus B$

 $A \oplus \tilde{B}$



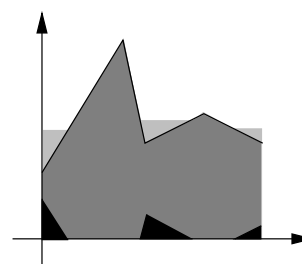
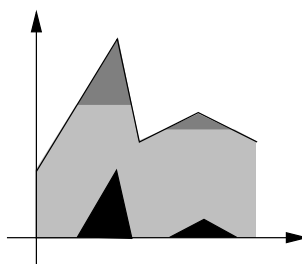
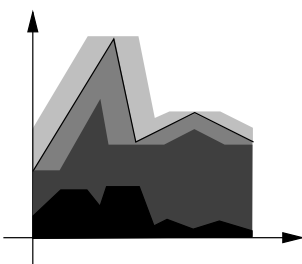
gradient :

correction de fond par chapeau haut de forme:

$(A \oplus \tilde{B} - A \ominus \tilde{B})/2$

$A - \Omega_B(A)$

$\Phi_B(A) - A$



$A \ominus \tilde{B}$

$A \oplus \tilde{B}$

$\Omega_B(A)$

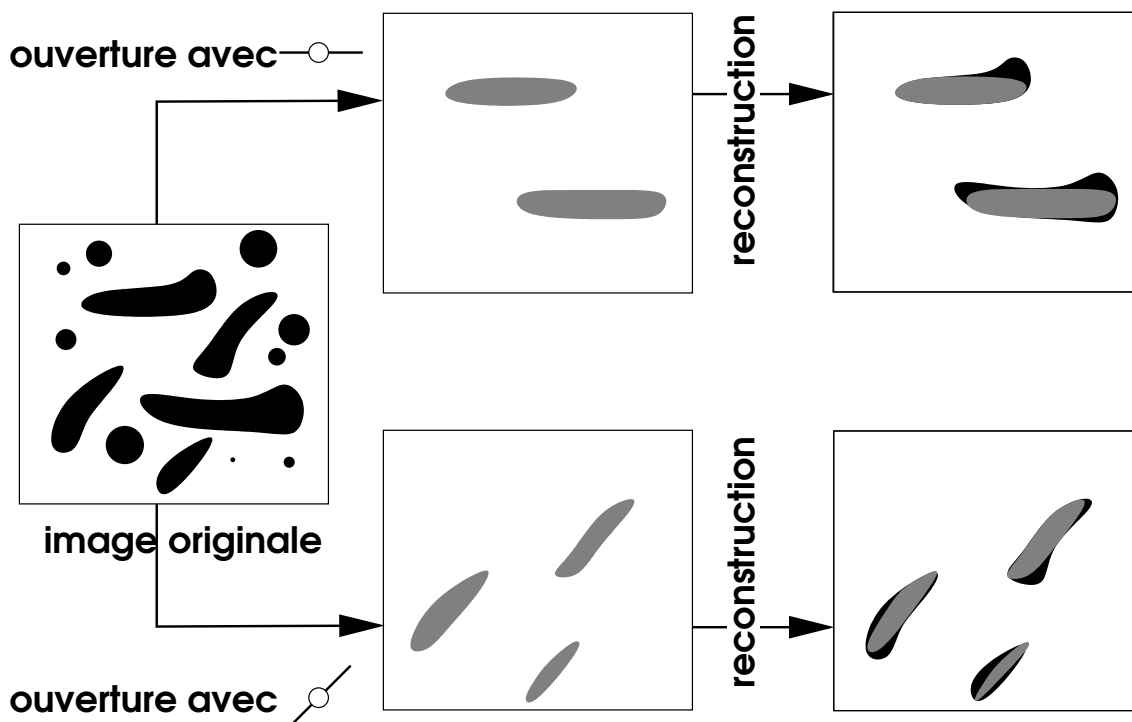
zones claires

$\Phi_B(A)$

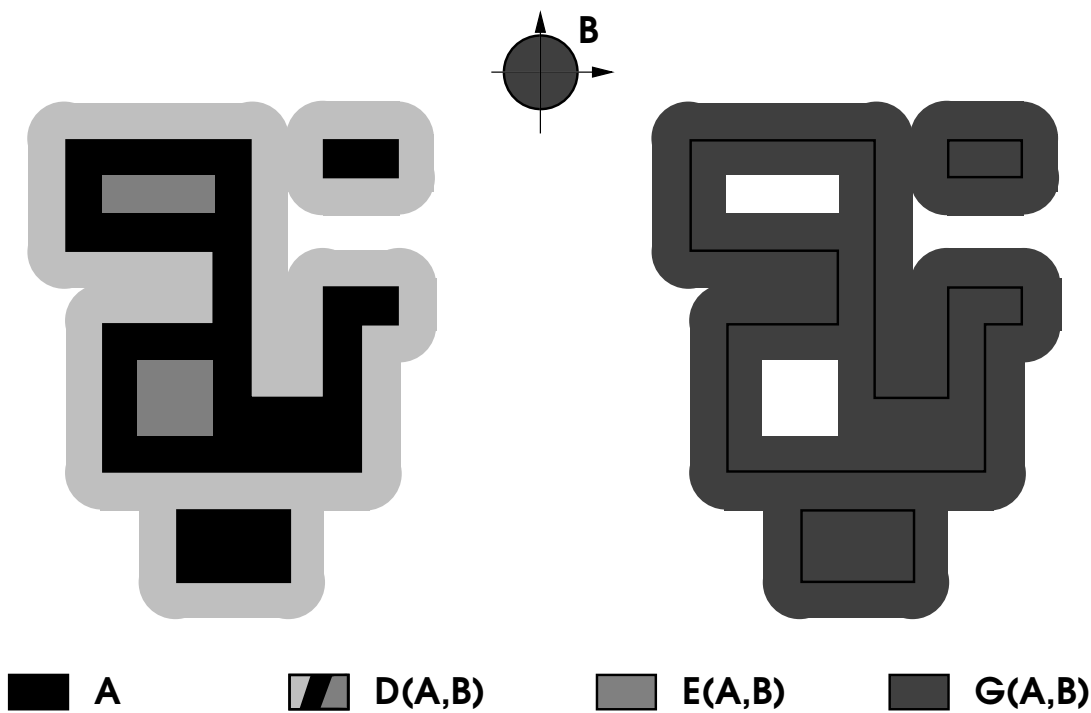
zones sombres

Opérateurs morphologiques sur images en ng

application à la granulométrie :



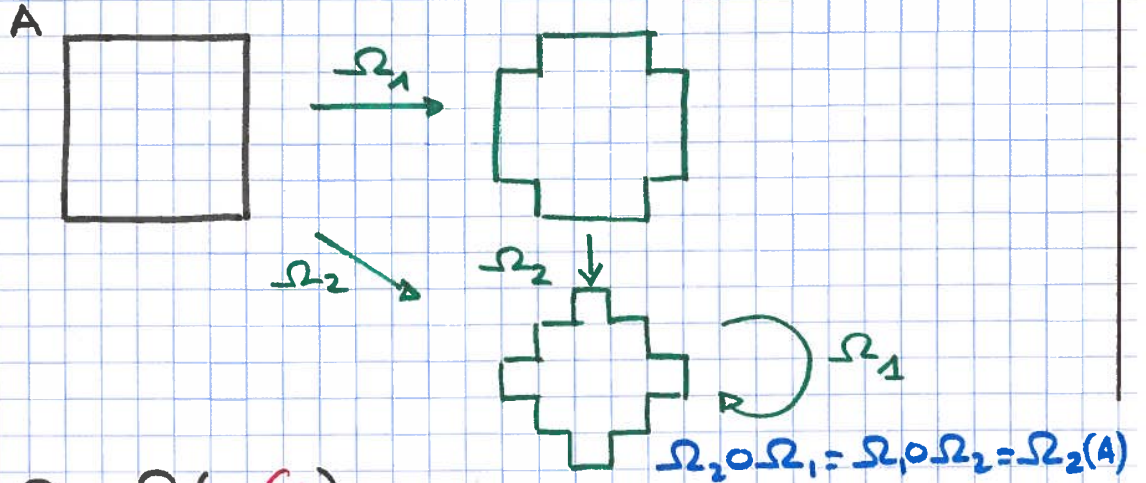
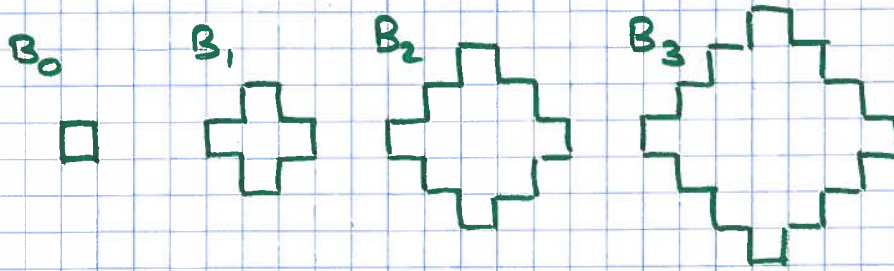
segmentation de contours par approximation du gradient :



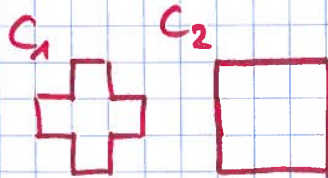
GRANULOMÉTRIE

Famille d'ouvertures $(\Omega_i)_i : i \leq j \Rightarrow \Omega_i \circ \Omega_j = \Omega_j \circ \Omega_i = \Omega_j$

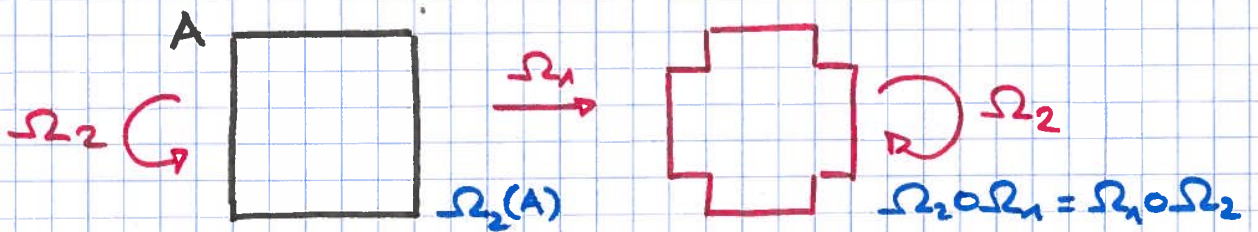
Ex : $\Omega_i = \Omega(\cdot, B_i)$



Contre Ex : $\Omega_i = \Omega(\cdot, C_i)$



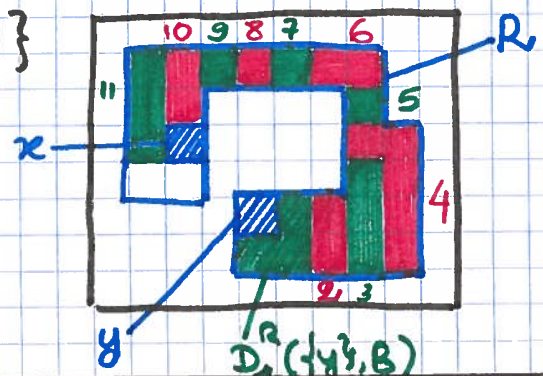
Pourtant $C_1 C C_2$

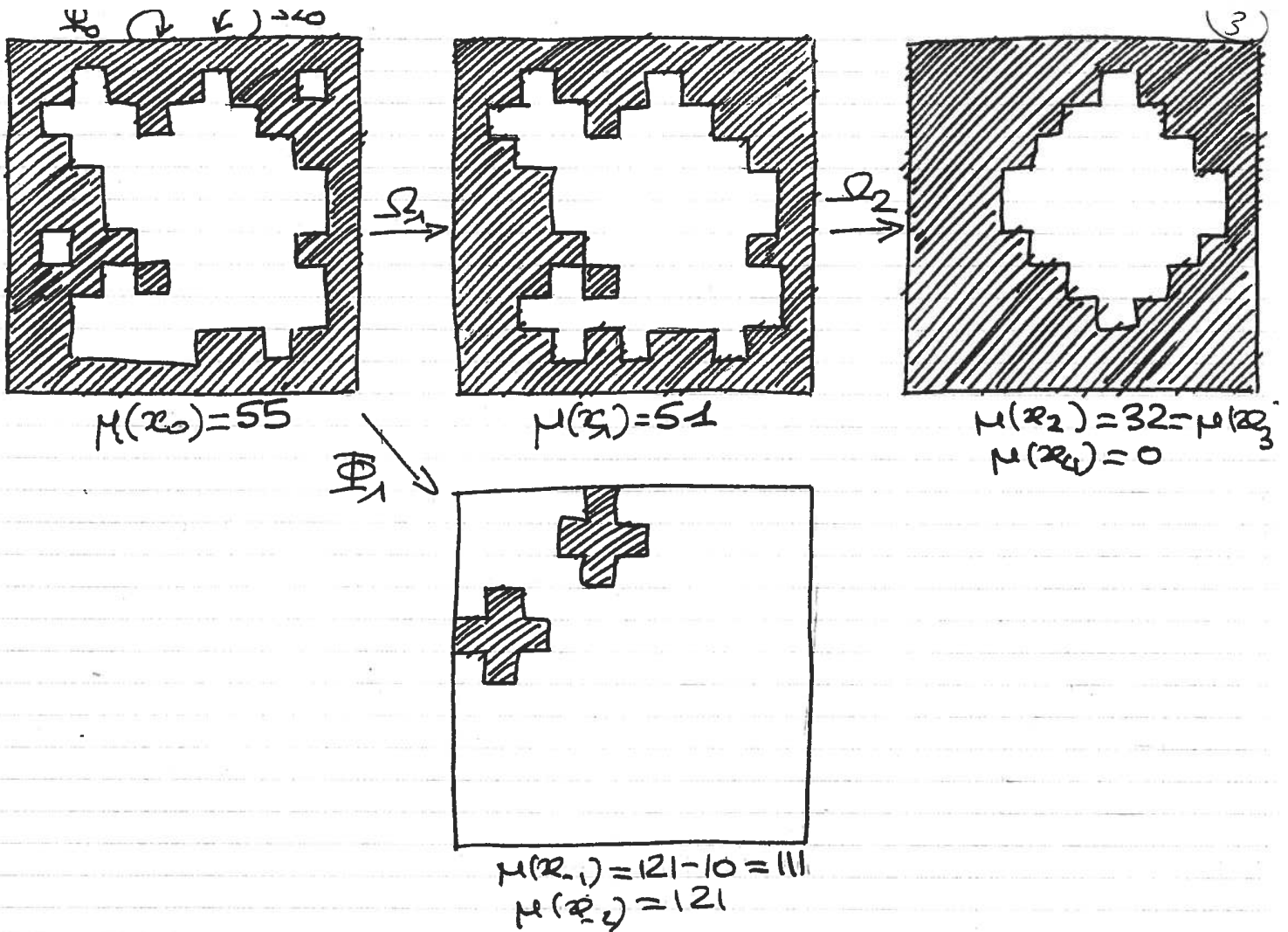


DISTANCE GÉODÉSIQUE

$$d_R(x, y) = \min \{ i : x \in D_i^R(\{y\}, B) \}$$

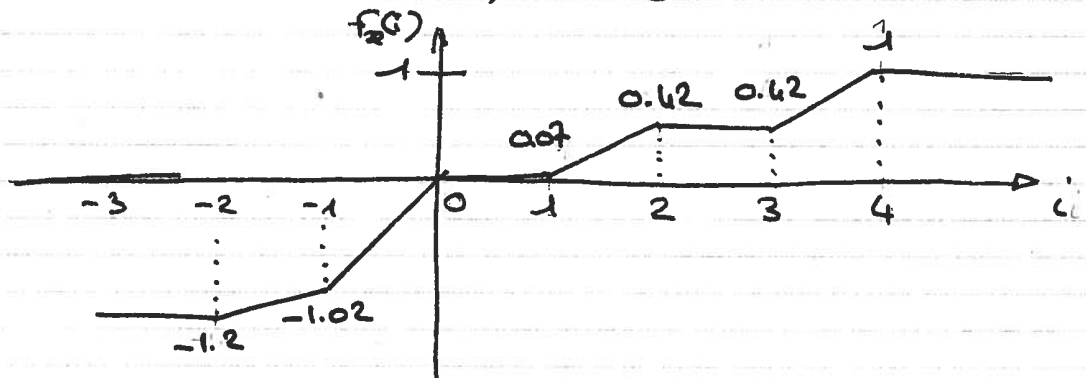
$$= 11$$



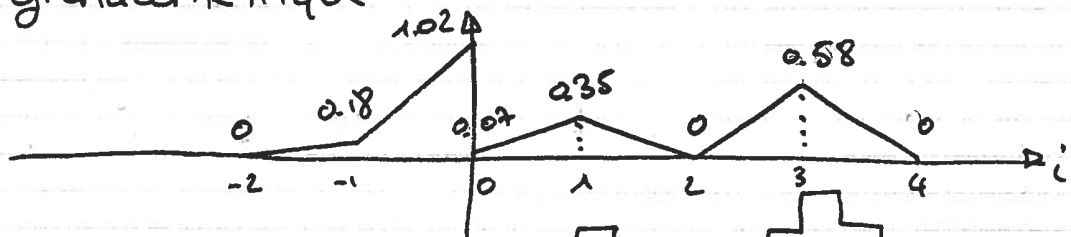


Fonction de distribution granulométrique

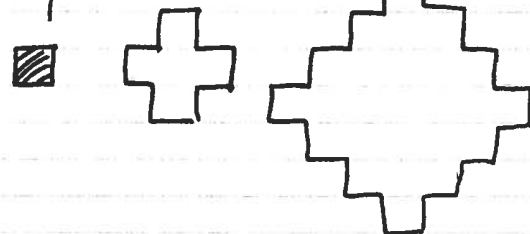
$$F_x(i) = 1 - \frac{\mu(x_i)}{\mu(x_0)} = \frac{55 - \mu(x_i)}{55}$$

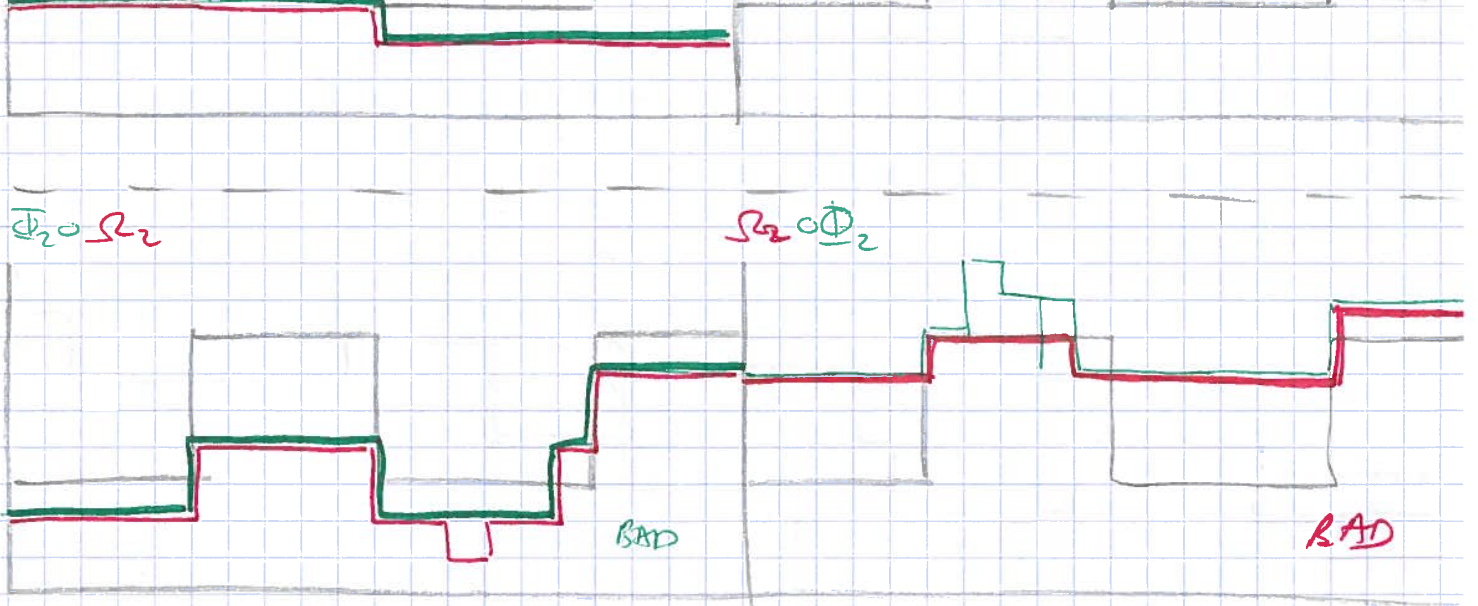
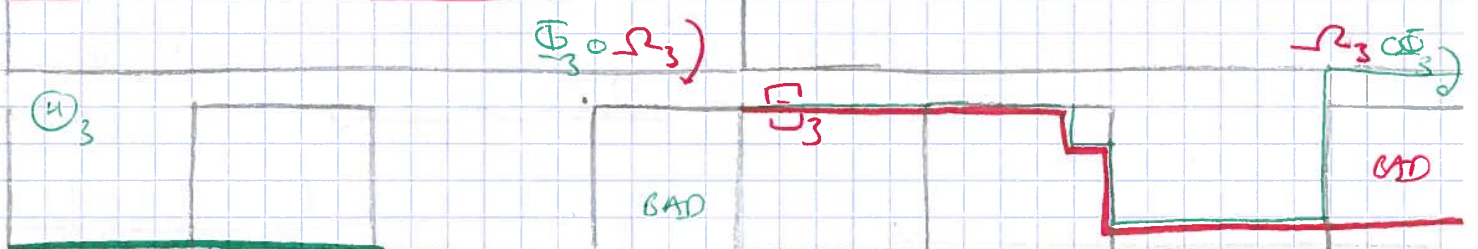
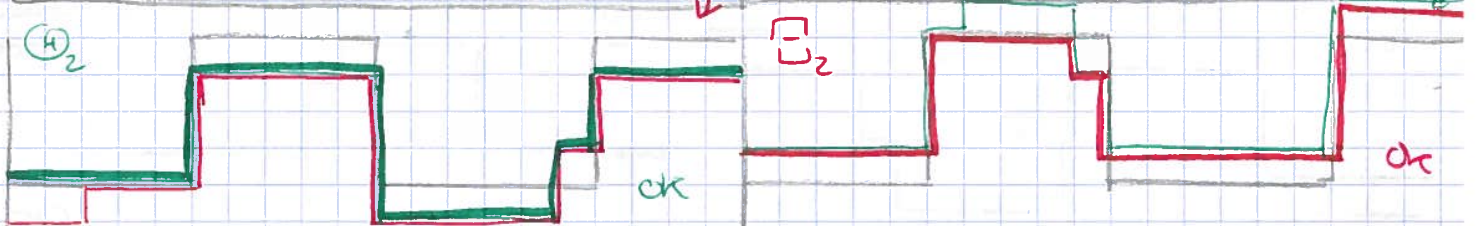
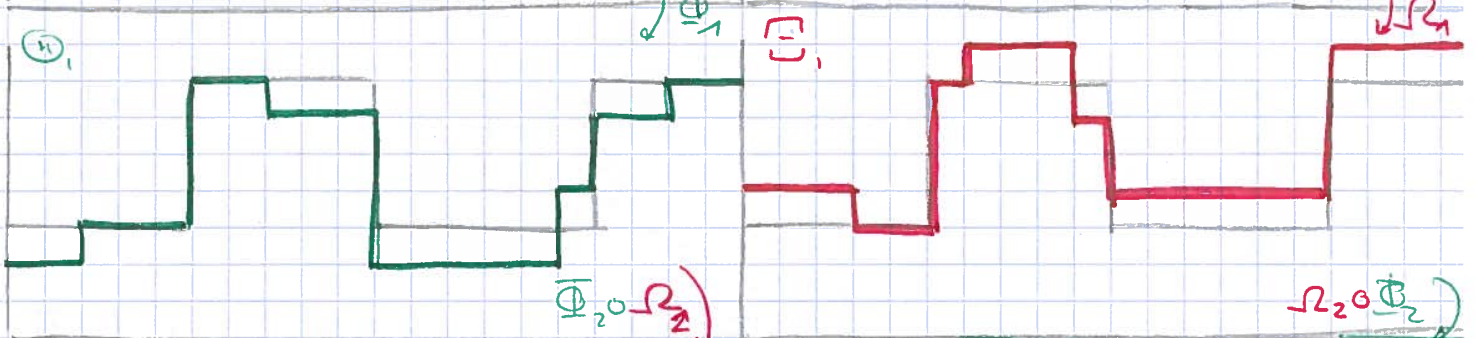
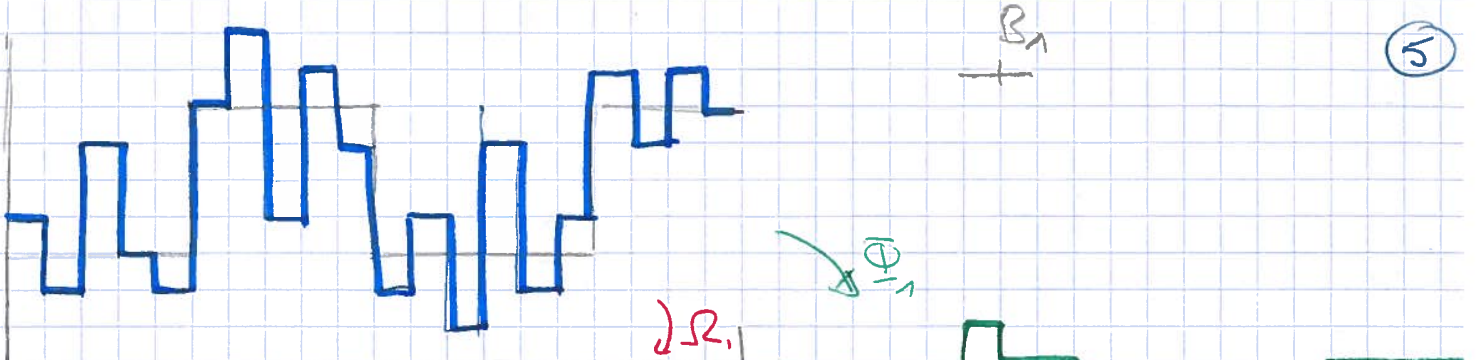


Spectre granulométrique



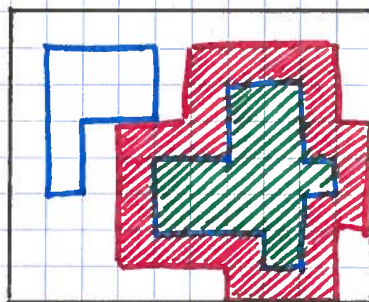
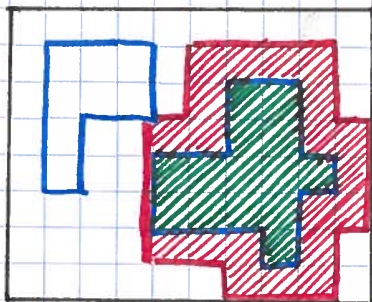
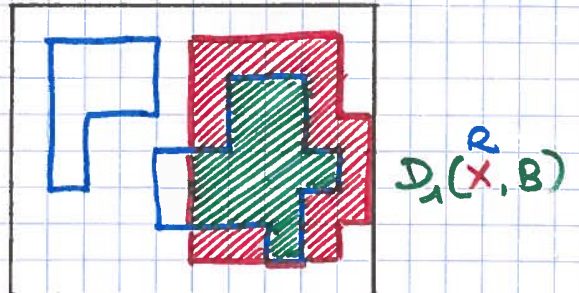
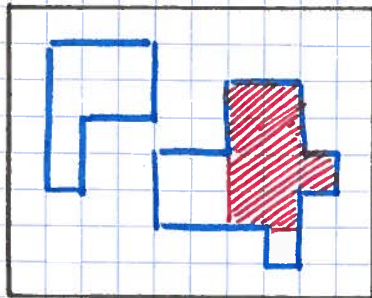
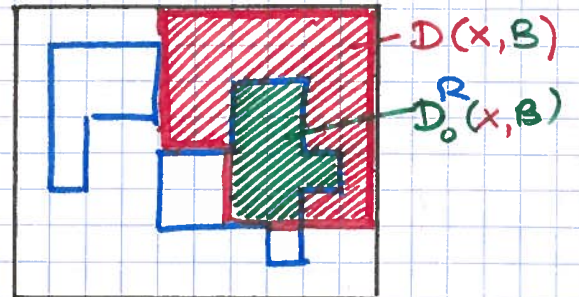
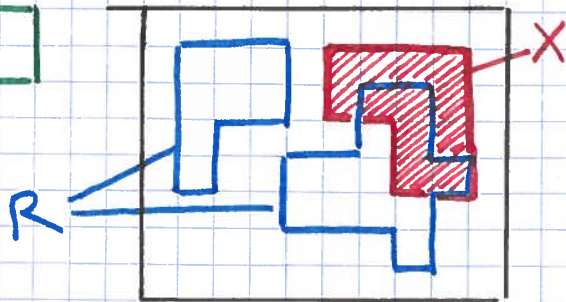
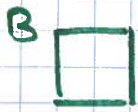
Analyse granulométrique:





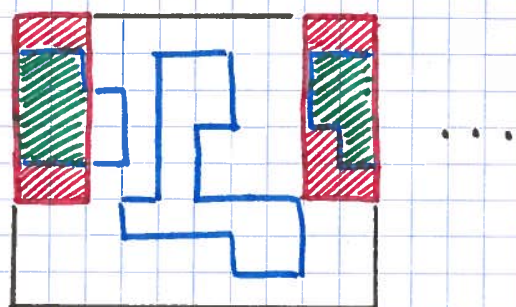
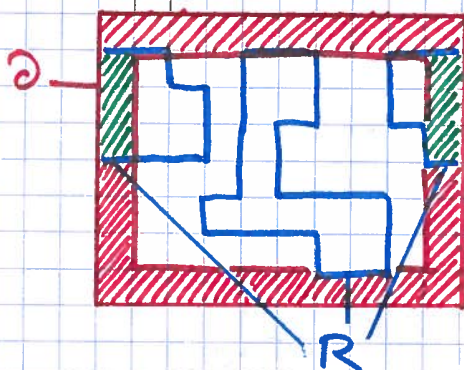
RECONSTRUCTION GÉODÉSIQUE (1/2)

$$\mathcal{R}^R(x, B) = \sup_{i \geq 0} \{ D_i^R(x, B) \}$$

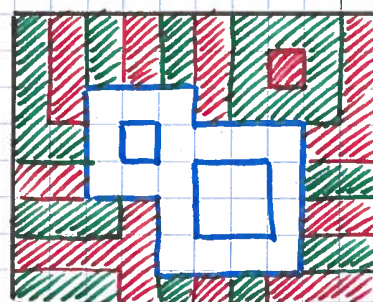
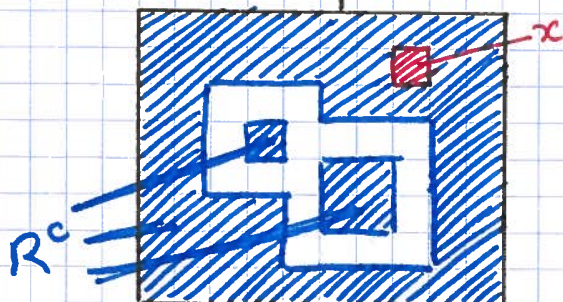


$$D_{\infty}^R(x, B) = \mathcal{R}^R(x, B)$$

Suppression des objets touchant le bord : $R - \mathcal{R}^R(\partial, B)$

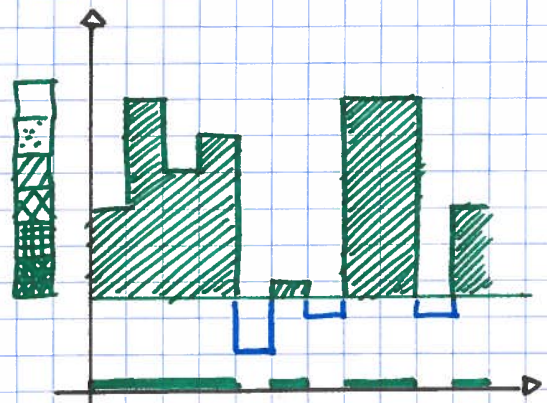
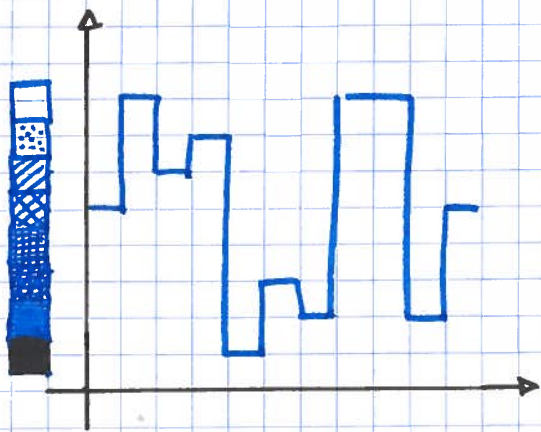


Boucher les trous : complément de $\mathcal{R}^{R^c}(x, B)$ où $x \in R^c$

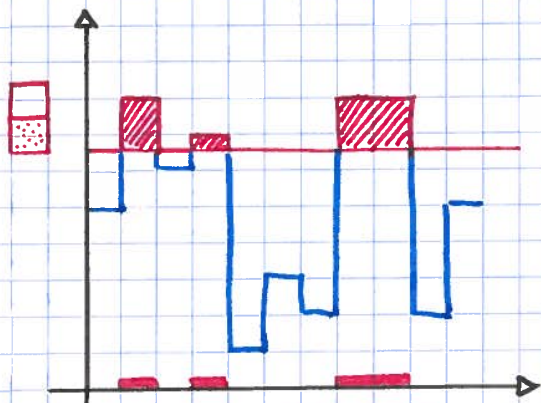


RECONSTRUCTION GÉODÉSIQUE (2/2)

Seuillage par Rystérésis



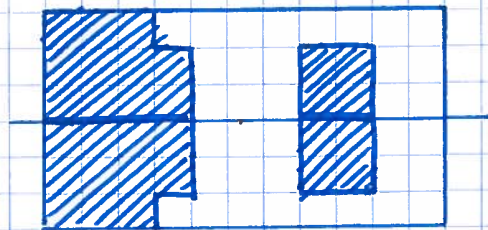
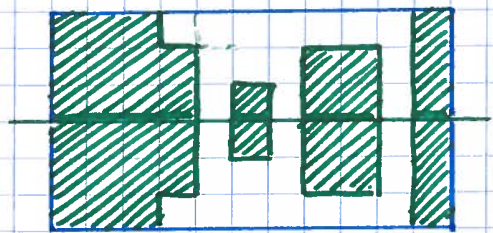
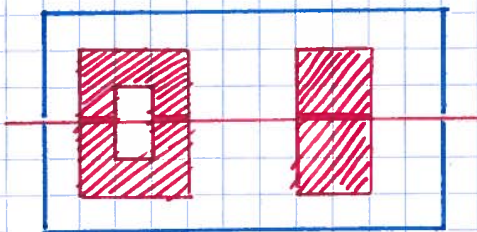
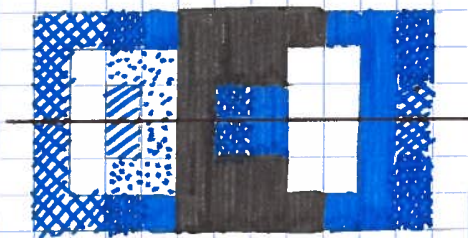
I_b : seuillage bas



I_R : seuillage haut

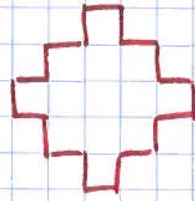
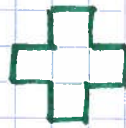
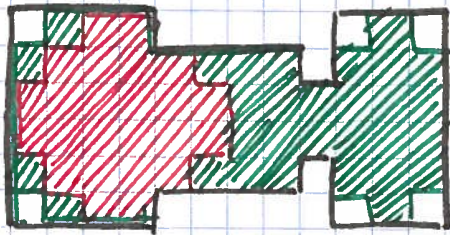


$I_y = R^{I_b}(I_R, B)$

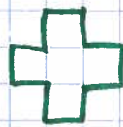
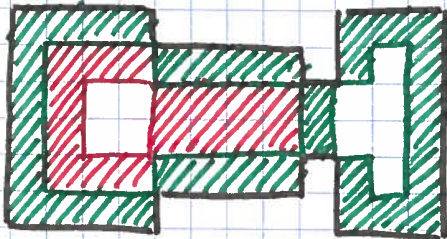


SÉPARATION D'OBJETS

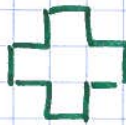
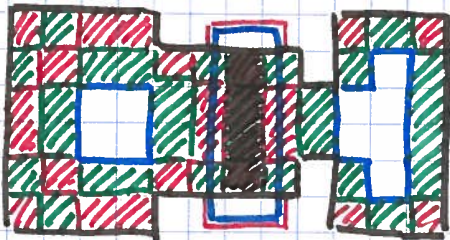
Insuffisance de l'ouverture



Compter les objets : érodés ultimes (\Rightarrow germes)



Skiz géodésique : dilatation géodésique des germes



Ligne de partage des eaux : \cup skiz de érodé_{i-1} dans érodé_i

